

## I-43 2次元組み合せ応力を考えた塑性解析について

徳島大学工学部 正会員 星 治雄

・ 児嶋弘行

・ 平尾 祥

1. はじめに 部材の降伏条件式曲げのみとか軸力のみを考えた塑性解析についてはすでに多くの解析方法が研究されており、筆者らも<sup>1)</sup>内力追跡法による塑性解析プログラムを作成し、漸増荷重をうける平面構造物の崩壊過程とか崩壊荷重などの自動追跡を成功して<sup>2)</sup>いる。また、同様な手法で曲げと軸力および曲げと接りの2次元組み合せ応力を考えた場合につけても近似解析を試みたが、これら<sup>3), 4)</sup>の解析では塑性流れ理論を無視してある断面が降伏してしまえばそれ以後その断面では考えていい組み合せ応力の各応力方向に無制限な塑性変形が生ずるものと仮定しているため、組み合せ応力の一方の応力が非常に小さい場合に、曲げだけとか軸力だけを考えた单纯塑性理論の場合の結果と大差を生ずるという矛盾した結果が得られた。したがって、これら<sup>5)</sup>の解析は塑性流れ理論を導入して修正される必要があるものと思われる。ただ、この塑性流れ理論によれば、降伏断面における塑性変形ベクトルの向きはその断面の応力実と対応する降伏曲線上の外向き法線の方向と一致するため、降伏条件式が直線となる場合以外は、応力の微少な中立変化に対して、その都度、この変形ベクトルの向きを修正してゆく必要があるため解析がかなり煩雑となる。それゆえ、この塑性流れ理論を考慮した塑性解析例としては構造法による簡単なラーメンとかアーチおよび直交格子桁を対象としたもの以外はあまり研究がなされていない現状である。以上のようなことから、筆者らは一般的な平面構造物および格子構造物が曲げと軸力および曲げと接りの2次元組み合せ応力を降伏する場合について、文献<sup>6)</sup>を参考にし、上述のようないくつか塑性流れ理論を考慮した内力追跡法による近似塑性解析方法について研究し、現在解析プログラムの作成中である。したがって、ここでは本研究における解析上の仮定、線形近似の方針、弾性計算部分に用いる変形法の基本式および解剖半順などについて紹介し、解剖例について<sup>7)</sup>は講演会当日発表する予定である。なお、平面構造物の場合と格子構造物の場合では降伏条件式および変形法の基本式が異なるだけで、基本式の説明方法とか解剖半順などはまったく同様であるから本文では平面構造物の場合だけについて述べる。

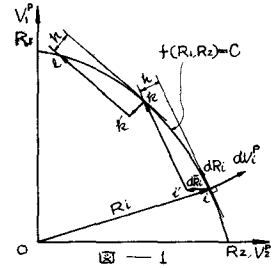
2. 解析上の仮定 本研究で仮定した主なものを列挙すればつきのようである。  
1)構造物を構成する部材はすべて完全塑性材料とする。  
2)本解析では個々の部材および構造全体の不安定現象は考慮しない。  
3)構造物の変形に伴なう幾可逆的変化およびセン断力の降伏条件式における影響は無視する。  
4)本研究で扱う外荷重はすべて同じ割合で連続的に増加するものとする。

3. 線形近似 (piecewise linearise) の方法について 応力  $R_1, R_2$  の組み合せによる降伏条件式を考えた場合、仕事断面が降伏すれば、断面における塑性変形増分ベクトル  $dV_i^P$ 、応力増分ベクトル  $dR_i$  の方向は、それぞれ、図-1 のように実にかける外向き法線および接線方向と一致し、これらの間に直交条件より式(1)が成立する。  
$$G_i \cdot dR_i = 0 \quad (G_i = dV_i^P / \mu_i) \quad (1)$$

ただし、 $G_i$  は実にかける外向き法線ベクトル、 $\mu_i$ ：流れ定数（正のスカラー量）である。

ところが、降伏条件式が曲線の場合、これら  $G_i, dR_i$  の方向は断面の塑性変形に伴なってたえず変化し、降伏後の断面においておける応力-変形の関係が非線形となり、解析が複雑となるため、つぎのように手順により線形近似を行なう。

- 1) 断面においてベクトル  $G_i$  および  $dR_i$  を決定する。
- 2) あらかじめ定められた値れどより式(2)にしたがって断面の応力ベクトル  $R_i + dR_i$  だけ降伏曲線の内側へ移動する。 $G_i^* \cdot dR_i = -h$  — (2)
- 3) 降伏後の荷重増加に対する断面における  $G_i$  の方向を一定と考え、応力も直線じくに沿って変化するものと仮定する。 $(G_i^* \parallel dR_i)$
- 4) 手段につづても以上(1), (2), (3)と同様な手順を繰返す。



なお、以上の線形近似の手順は降伏条件式が直線の場合には  $G_i, dR_i$  の方向が一定であるから不要となる。

4. 变形法の基本式 ここで塑性流れ理論を考慮した場合の内力追跡法による塑性解に必要となる、各種の拘束条件に応じた变形法の基本式とそれらの誘導方法を簡単に紹介する。

部材軸と軸を一致させたとき系に対する变形法の拘束力  $S_i$  と節点変形量  $\delta_i$  との間には一般につぎの式(3)の関係があり、平面構造物の場合には  $S_i, \delta_i, K$  はつぎのようになる。

$$S_i = [K_{ii} \cdot \delta_i + K_{ij} \cdot \delta_j], \quad S_j = [K_{ji} \cdot \delta_i + K_{jj} \cdot \delta_j] \quad (3)$$

したがって、以下に、各種の拘束条件に応じた Stiffness matrix  $[K_{ii}], [K_{ij}]$  の各要素  $a_1, a_2, a_3, \dots, d_1, d_1'$  を示す。ただし、式中の  $a, b, c, b', c', d, d', d''$  はそれぞれ式(5)のようないちごである。

$$a = EF/l, \quad b = 12EI/l^3, \quad c = 6EI/l^2, \quad b' = 3EI/l^3, \quad c' = 6EI/l^2, \quad d = 4EI/l, \quad d' = 2EI/l, \quad d'' = 3EI/l \quad (5)$$

$$1) i, j \text{両端剛結 } a_1 = a, \quad a_2 = a_3 = a_3' = 0, \quad b_1 = b, \quad c_1 = c_1' = c, \quad d_1 = d, \quad d_1' = d' \quad (6)$$

$$2) i \text{ 端滑節, } j \text{ 端剛結 } a_1 = a, \quad a_2 = a_3 = a_3' = 0, \quad b_1 = b', \quad c_1 = 0, \quad c_1' = c', \quad d_1 = d_1' = 0 \quad (7)$$

$$3) i \text{ 端剛結, } j \text{ 端滑節 } a_1 = a, \quad a_2 = a_3 = a_3' = 0, \quad b_1 = b', \quad c_1 = c, \quad c_1' = 0, \quad d_1 = d'', \quad d_1' = 0 \quad (8)$$

4) i 端降伏, j 端剛結 降伏端を有する部材の基本式の誘導方法を二つ場合を例にとって紹介する。

他の構造部分により拘束された状態では降伏端には弾性変形量  $\delta_i^e$  と塑性変形量  $\delta_i^p$  が共存し、变形の連続条件より、節点の変形量  $\delta_i$  との間につぎの式(9)の関係が成立する。

$$\delta_i = \delta_i^e + \delta_i^p \quad (9)$$

一方、この塑性変形量  $\delta_i^p$  は塑性流れ理論により、前出の  $G_i$  と  $M_i$  からつぎのように表わされる。

$$\delta_i^p = G_i \cdot M_i \quad (10)$$

また、曲げと軸力の組み合せを考えた降伏条件式  $+ (N, M) = 1$  では式(10)の  $G_i$  は式(11)となる。

$$G_i = \begin{vmatrix} \partial \delta / \partial N \\ \partial \delta / \partial Q \\ \partial \delta / \partial M \end{vmatrix}_i = \begin{vmatrix} \partial \delta / \partial N \\ \partial \delta / \partial Q \\ \partial \delta / \partial M \end{vmatrix}_i = \begin{cases} \alpha_i \\ 0 \\ \beta_i \end{cases}, \quad \alpha_i = (\partial \delta / \partial N)_i, \quad \beta_i = (\partial \delta / \partial M)_i \quad (11)$$

この場合の  $\delta_i$  と  $\delta_i^p$  の関係は式(3)の  $\delta_i$  のかわりに  $\delta_i^p$  を代入したものとなり、整理すればつぎの式(12)となる。

$$S_i = [K_{ii} \cdot \delta_i + K_{ij} \cdot \delta_j - K_{ii} \cdot G_i \cdot M_i], \quad S_j = [K_{ji} \cdot \delta_i + K_{jj} \cdot \delta_j - K_{ji} \cdot G_i \cdot M_i] \quad (12)$$

つぎに、この拘束端に式(1)の直交条件、 $G_i^* \cdot S_i = 0$  を適用し、流れ定数  $M_i$  を求めれば式(13)となる。

$$M_i = (G_i^* \cdot K_{ii} \cdot \delta_i + G_i^* \cdot K_{ij} \cdot \delta_j) / (G_i^* \cdot K_{ii} \cdot G_i) \quad (13)$$

ここで、 $(G_i^t \cdot K_{ii} \cdot G_i)^{-1}$  は式(4)の  $K_{ii}$  に式(6)を代入し、計算すればつぎの式(14)のよう定義できる。

$$T_i = (G_i^t \cdot K_{ii} \cdot G_i)^{-1} = (ad\alpha_i^2 + d\beta_i^2)^{-1} \quad (14)$$

なお、式(13)の  $\mu_i$  の正負によって弾性復活の判定ができる。( $\mu_i > 0$ : 塑性持続、 $\mu_i < 0$ : 弹性復活) 式(13)を式(12)に代入し、整理すれば、求めた  $S$  と  $S'$  の関係が得られ、stiffness matrix の各要素が式(15)のよう

$$\left. \begin{aligned} a_1 &= ad\beta_i^2 T_i, \quad a_2 = ac\alpha_i \beta_i T_i, \quad a_3 = add\beta_i T_i, \quad a'_3 = ad'\alpha_i \beta_i T_i, \quad b_1 = b - c^2 \beta_i^2 T_i \\ c_1 &= ac\alpha_i^2 T_i, \quad c'_1 = c(1 - d^2 \beta_i^2 T_i), \quad d_1 = ad\alpha_i^2 T_i, \quad d_1' = ad'\alpha_i^2 T_i, \quad d'_1 = d - d^2 \beta_i^2 T_i \end{aligned} \right\} \quad (15)$$

となる。同様にして他の降伏端部材の  $S$  と  $S'$  の関係も求められるが、以下にはその結果だけを示す。

$$5) i \text{ 端剛結}, j \text{ 端降伏} \quad \left. \begin{aligned} a_1 &= ad\beta_j^2 T_j, \quad a_2 = ac\alpha_j \beta_j T_j, \quad a_3 = add\alpha_j \beta_j T_j, \quad a'_3 = ad'\alpha_j \beta_j T_j \\ b_1 &= b - c^2 \beta_j^2 T_j, \quad c_1 = c(1 - d^2 \beta_j^2 T_j), \quad c'_1 = ac\alpha_j^2 T_j, \quad d_1 = d - d^2 \beta_j^2 T_j, \quad d'_1 = ad\alpha_j^2 T_j, \quad T_j = (ad_j^2 + d\beta_j^2)^{-1} \end{aligned} \right\} \quad (16)$$

$$6) i \text{ 端滑節}, j \text{ 端降伏} \quad \left. \begin{aligned} a_1 &= ad^2 \beta_j^2 T_j, \quad a_2 = -ac\alpha_j \beta_j T_j, \quad a_3 = 0, \quad a'_3 = ad^2 \alpha_j \beta_j T_j \\ b_1 &= ab\alpha_j^2 T_j, \quad c_1 = 0, \quad c'_1 = ac\alpha_j^2 \beta_j T_j, \quad d_1 = d_1' = 0, \quad T_j = (ad_j^2 + d^2 \beta_j^2)^{-1} \end{aligned} \right\} \quad (17)$$

$$7) i \text{ 端降伏}, j \text{ 端滑節} \quad \left. \begin{aligned} a_1 &= ad^2 \beta_i^2 T_i, \quad a_2 = ac\alpha_i \beta_i T_i, \quad a_3 = ad^2 \alpha_i \beta_i T_i, \quad a'_3 = 0 \\ b_1 &= ab\alpha_i^2 T_i, \quad c_1 = ac\alpha_i^2 \beta_i T_i, \quad c'_1 = 0, \quad d_1 = d_1' = 0, \quad T_i = (ad_i^2 + d^2 \beta_i^2)^{-1} \end{aligned} \right\} \quad (18)$$

$$8) i \text{ 端降伏}, j \text{ 端降伏} \quad \left. \begin{aligned} a_1 &= 3ad\beta_i^2 \beta_j^2 T_{ij}, \quad a_2 = ac\beta_i \beta_j (\alpha_i \beta_j - \alpha_j \beta_i) T_{ij}, \quad a_3 = 3ad\alpha_i \beta_i \beta_j^2 T_{ij} \\ a'_3 &= -3ad\alpha_j \beta_i \beta_j T_{ij}, \quad b_1 = ab(\alpha_i \beta_j - \alpha_j \beta_i)^2 / 2, \quad c_1 = ac\alpha_i \beta_j (\alpha_i \beta_j - \alpha_j \beta_i) T_{ij}, \quad c'_1 = -ac\alpha_j \beta_i (\alpha_i \beta_j - \alpha_j \beta_i) T_{ij} \\ d_1 &= 3ad\alpha_i^2 \beta_j^2 T_{ij}, \quad d'_1 = -3ad\alpha_i \beta_i \beta_j T_{ij}, \quad T_{ij} = \{2a(\alpha_i^2 \beta_j^2 + \alpha_i \alpha_j \beta_i \beta_j + \beta_i^2 \beta_j^2) + 3d^2 \beta_i^2 \beta_j^2\}^{-1} \end{aligned} \right\} \quad (19)$$

以上の諸式は部材軸と引張り軸を一致させた固有座標で系に対するものであるが、一般座標系に対する関係も後述するような座標変換により簡単に求められる。

5. ベクトル移動による材端力の減少 3. で述べたような線形近似を行なうためには、ある荷重強度  $P$  で材端  $i$  が降伏した場合、荷重  $P$  を増加する以前に、式(2)に3点カベクトルの移動を行なう必要があるが、その場合の材端力の減少量をつぎのようにして求められる。すなわち、荷重強度  $P$  のもとでの釣合状態は材端  $i$  が降伏しても  $P$  に変化がなければそのまま保たれると仮定すれば、変形の連続条件から打球として  $d\delta_i^E + d\delta_i^P = 0$

となる。したがって、部材  $i, j$  の材端力  $S_i, S_j$  は式(20)の弾性変形量  $d\delta_i^E = -d\delta_i^P = -G_i \cdot \mu_i$  により、

$$dS_i = K_{ii} \cdot d\delta_i^E = -K_{ii} G_i \mu_i, \quad dS_j = K_{jj} \cdot d\delta_j^E = -K_{jj} G_j \mu_j \quad (20)$$

だけ変化し、この  $dS_i$  を式(2)に代入すると、定数  $\mu_i$  が、 $\mu_i = (G_i^t \cdot K_{ii} \cdot G_i)^{-1} \cdot h = T_i \cdot h$

として求まるから、これを式(21)に代入すれば、求めた材端力の減少量  $dS_i, dS_j$  は式(23)のようだ。

$$dS_i = -K_{ii} \cdot G_i \cdot T_i \cdot h, \quad dS_j = -K_{jj} \cdot G_j \cdot T_j \cdot h \quad (23)$$

なお、式(22), (23)のstiffness matrix  $K_{ii}, K_{jj}$  には材端  $i$  の降伏前の値を用いることが必要であり、 $i, j$  両端が同時に降伏した場合には  $i, j$  両端で得られる式(23)の結果を加算したものとなるが、これら  $dS_i, dS_j$  の減少により節点  $i, j$  の釣合状態がみだされることがあるから再分配を考える必要がある。

6. 座標変換 4, 5. で求めた固有座標系  $S$  と  $S'$  の関係は座標変換行列  $R$  によって、一般座標系  $X, Y, Z$  に対するこれらの関係  $P$  と  $V$  に式(24)によって変換される。

$$P = R \cdot S = R \cdot K \cdot \delta = R \cdot K \cdot R^t \cdot V, \quad (\delta = R^t \cdot V) \quad (24)$$

ただし、

$$P = \begin{vmatrix} P_x \\ P_y \\ M \end{vmatrix}, \quad V = \begin{vmatrix} S_x \\ S_y \\ 0 \end{vmatrix}, \quad R = \begin{vmatrix} \cos\theta & -\sin\theta & 0 \\ \sin\theta & \cos\theta & 0 \\ 0 & 0 & 1 \end{vmatrix}, \quad R^t = \begin{vmatrix} \cos\theta & \sin\theta & 0 \\ -\sin\theta & \cos\theta & 0 \\ 0 & 0 & 1 \end{vmatrix} \quad (25)$$

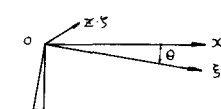


図-2

7. 降伏条件式 降伏条件に曲げと軸力の組み合せを考えた場合の矩形、対称工型および薄肉中空  
円形断面に対する降伏条件式はつきの式(26), (27)のように表わされるから、前述の外向き法線ベクト  
 $f(N, M) = R(M/M_p) + N/N_{N_0} = 1 - \dots$  (26),  $\dot{f}(N, M) = M/M_p + R(N/N_{N_0})^2 = 1 - \dots$  (27) ただし定数

ル  $G_i$  の各成分又、 $\beta$  はそれそれつきの式(28), (29)のような定数である。は  $N$  の 1 次式となる。

$$\alpha = \frac{\partial f}{\partial M} = R/M_p, \quad \beta = \frac{\partial f}{\partial N} = 1/N_0 \quad \dots \quad (28), \quad \alpha = \frac{\partial \dot{f}}{\partial M} = 1/M_p, \quad \beta = \frac{\partial \dot{f}}{\partial N} = 2R/N_{N_0}^2 \quad \dots \quad (29)$$

## 8. 解析手順 本文による塑性解析は

つきの 1) ~ 6) の繰返しによって進められる。  
1) 線形解析、2) 弹性復活の判定、  
3) 荷重倍数の計算、4) 降伏端にかけられた  
クトル移動、5) stiffness matrix の修正、  
6) 前壊の判定。なお、この場合の解析フ  
ローラムにかけ算演算の流れは図-3 の  
ようになる。

9. 問題点 本法には、1) 降伏関節が完全に剛性を失なわず、変形機構が形成されないため前壊の定義が明確でない。  
2) 降伏材端でのベクトル移動量を大小により解釈結果の精度が左右されるなどの問題点があり、1)については変形量などから判定可能と思われるが、これら

の点については解析プログラム完成後、計算結果を参考しながら検討していく予定である。

## 10. 参考文献

- 1) PHILIP G. HODGE : 「PLASTIC ANALYSIS OF STRUCTURES」, McGRAW-HILL
- 2) 星 児嶋 平尾 : 「有限変位を考慮した平面構造物の崩壊過程の自動追跡について」, 土木学会  
第24回年次学術講演会講演集第1部 P.51 ~ 54.
- 3) 星 児嶋 平尾 : 「曲げモーメントと軸力の組み合せを考慮した平面構造物の一塑性解析」,  
徳島大学工学部研究報告 第16号 P.17 ~ 34
- 4) 星 児嶋 平尾 : 「格子桁の崩壊過程の追跡について」, 土木学会第23回年次学術講演会講演集
- 5) 若林 野中 伸 : 「架橋の塑性崩壊荷重に及ぼす部材軸力の影響について」, 日本建築学会近畿支  
部研究報告集 昭和45年5月 P.69 ~ 72
- 6) 末沢 三上 : 「土木学会論文集」, No.132, 1966, P.18 ~ 26
- 7) Glenn A. Morris, Steven J. Fenves : 「ELASTIC-PLASTIC ANALYSIS OF FRAMEWORKS」,  
STRUCTURAL DIVISION, May 1970, P.931 ~ 946
- 8) フラガー, ホッジ : 「塑性学」 安部浩二, 宮本博譲, 文善

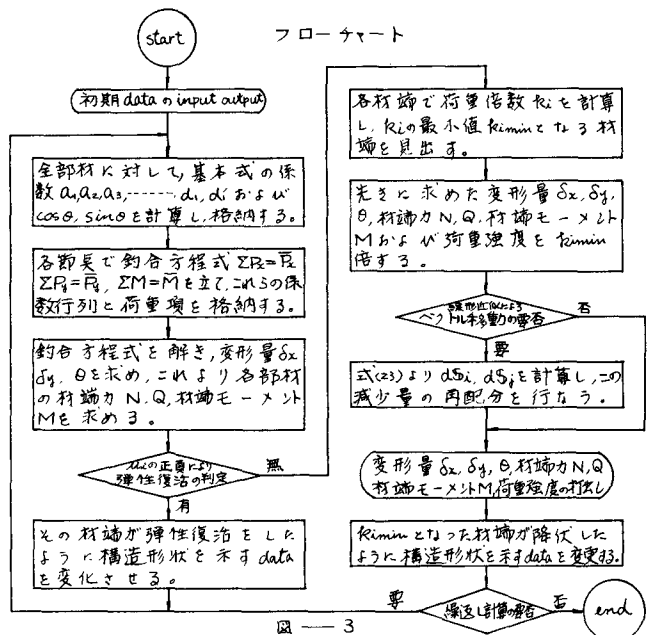


図-3